ISSN: 2582-4686 SJIF 2021-3.261,SJIF 2022-2.889, 2024-6.875 ResearchBib IF: 9.948 / 2024

THE MULTIDISCIPLINARY JOURNAL OF SCIENCE AND TECHNOLOGY

VOLUME-5, ISSUE-12

ПРИМЕНЕНИЕ ЦИФРОВЫХ ТЕХНОЛОГИЙ ДЛЯ ИЗГОТОВЛЕНИЯ ДИОКСИДЦИРКОНИЕВЫХ ЗУБНЫХ ПРОТЕЗОВ С УЧЕТОМ ИНДИВИДУАЛЬНЫХ ПАРАМЕТРОВ ЗУБОЧЕЛЮСТНОЙ СИСТЕМЫ ПАЦИЕНТА

Нормуродова Рухсора Закир -PhD

Сафаров Мурод Ташпулатович- DcS

Нормуродова Р.З. – доцент кафедры госпиталь ортопедической стоматологии

Сафаров М.Т.- доцент кафедры госпиталь ортопедической стоматологии

Ташкентского государственного медицинского университета (Ташкент, Узбекистан)

e-mail: nrukhsora@mail.ru

АННОТАЦИЯ

Усовершенствование методики изготовления постоянных несъемных конструкций зубных протезов и имплантационных систем из отечественного материала на основе диоксида циркония на CAD/CAM-системе. Изготовление ортопедических конструкций проводили под контролем динамической окклюзии на CAD/CAM-системе Hint- Els с использованием возможностей виртуального артикулятора. Программный модуль “Виртуальный артикулятор” позволил реконструировать, контролировать и корректировать анатомическую форму конструкций по индивидуальным статическим и динамическим окклюзионным параметрами пациента. Также оптимизированы параметры стратегии фрезерования путем расчета путей фрезерования и сокращения общего времени изготовления конструкций, при этом со- хранялась их высокая точность, что подтвердили данные исследования на компараторном микроскопе. Оценка регионар- ного кровотока пародонта в отдаленные сроки после ортопедического лечения свидетельствует о нормализации микро- циркуляции тканей пародонта в функциональном аспекте за счет выверенных окклюзионных контактов.

Клю чевые слов а: зубные протезы; диоксид циркония; CAD/CAM-технология; динамическая окклюзия; виртуальный артикулятор.

ВВЕДЕНИЕ

На современном этапе развития ортопедической стома- тологии требуется внедрение в клиническую практику ав- томатизированного высокотехнологичного оборудования, которое в состоянии обеспечить повышенные требования к изготовлению функционально ценных конструкций зубных протезов, обладающих максимально приближенными эсте- тическими параметрами к естественным твердым тканям зу- бов. Такими способностями обладают CAD/CAM-системы, которые уверенно входят в стоматологическую практику в течение последних 20 лет [1–3].

В настоящее время среди огромного разнообразия высо- котехнологичного цифрового оборудования для изготовле- ния зубных протезов и имплантационных систем на россий- ском рынке широко представлены 4 основные CAD/CAM- системы: Cerec inLab (“Sirona”,

ISSN: 2582-4686 SJIF 2021-3.261,SJIF 2022-2.889, 2024-6.875 ResearchBib IF: 9.948 / 2024

Германия), Everest (“KAVO”, Германия), Hint-Els (прежнее название – DigiDent, Германия), DCS (Швейцария) [4, 5].

По результатам проведенных исследований, наиболее широкие программные возможности имеет система Hint- Els [6–9]. Это промышленная открытая CAD/CAM-система, полностью совместимая с другими представителями данной технологии, позволяющая использовать материалы любых фирм-производителей, что обеспечивает большую свободу выбора. Определенную ценность системы Hint-Els имеет возможность изготовления вкладок, виниров, коронок, мо- стовидных протезов любой протяженности и супраструктур имплантатов из широкого спектра материалов (керамика на основе диоксида циркония и оксида алюминия, стеклокера- мика, сплавы титана, кобальт-хромовые сплавы, пластмасса, воск), к тому же себестоимость единицы конструкции (ко- ронки) в сравнении с остальными представителями значи- тельно ниже, что говорит о больших возможностях и доступ- ности изготовления зубных протезов на CAD/CAM-системе Hint-Els [4].

Цель работы – усовершенствование и апробация методи-
ки изготовления постоянных несъемных конструкций зубных протезов и имплантационных систем из отечественного ма- териала на основе диоксида циркония, стабилизированного иттрием, на CAD/CAM-системе Hint-Els с учетом индивиду- альных параметров движений нижней челюсти у пациентов с патологией окклюзии также сравнительная оценка состояния тканей пародонта до и после этапа лечения (в отдаленные сроки).

Материал и методы

Проведено комплексное обследование и лечение 134 паци- ентов (возраст 18–63 года) с дефектами твердых тканей жева- тельной группы зубов и зубных рядов. Критериями включения в исследование были нарушение анатомии окклюзионной по- верхности жевательной группы зубов вследствие кариеса, ре- ставрации или протезирования; односторонние и двусторон- ние включенные или концевые дефекты зубных рядов; наличие нижних резцов для возможности определения окклюзионной плоскости. Пациенты не имели выраженных воспалительных изменений в пародонте и отягощенного общесоматического статуса. Планирование комплексного лечения проводили по- сле полного выполнения санационных мероприятий полости рта. Все пациенты до этапа лечения прошли рентгенологиче- ское обследование зубочелюстной системы.

Оценивали окклюзию зубных рядов в статике и дина- мике. В статической окклюзии учитывали число пар зубов- антагонистов на каждой стороне (с помощью пластинки базисного воска) в положении центрального соотношения, когда нормой считали симметричные контакты в области же- вательных зубов справа и слева (для возможности соскаль- зывания нижней челюсти в множественную привычную ок- клюзию).

ISSN: 2582-4686 SJIF 2021-3.261,SJIF 2022-2.889, 2024-6.875 ResearchBib IF: 9.948 / 2024

THE MULTIDISCIPLINARY JOURNAL OF SCIENCE AND TECHNOLOGY

VOLUME-5, ISSUE-12

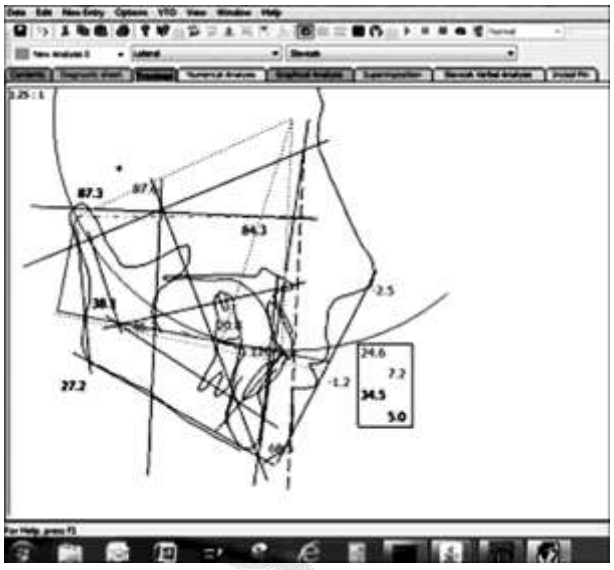


Рис. 1. Результаты расчета ТР-граммы в боковой проекции.

Центральное (отправное) соотношение регистрировали при разобщенных зубных рядах пациента, чтобы не допу- стить рефлекторного сокращения жевательных мышц в ответ на зубной контакт и соскальзывания нижней челюсти в при- вычную статическую окклюзию [10]. Для фиксации отправ- ного положения нижней челюсти использовали восковую пластину высокой твердости (толщиной 3 мм) с последую- щей коррекцией воском с алюминиевой стружкой “Aluwax”. При этом пациент находился в горизонтальном положении в стоматологическом кресле.

Для анализа клинической ситуации гипсовые модели устанавливали в артикулятор в положение центрального со- отношения (задней контактной позиции). Использовали пол- ностью регулируемый артикулятор типа Аркон – Artex CR (“Amann Girrbach”). Модель верхней челюсти позициониро- вали в артикулятор по ориентирам шарнирно-орбитальной плоскости при помощи кинематической лицевой дуги Artex по общепринятой методике (рис. 1 на вклейке).

Проводили диагностику окклюзионных поверхностей и динамической окклюзии. Динамическую окклюзию оцени- вали на гипсовых моделях в артикуляторе в 2 этапа: на не- разборных и разборных моделях с поочередным удалением штампиков зубов, оценивая функцию ведения и наличия ок- клюзионных препятствий. В норме ожидали разобщение ис- следуемым зубом находящихся дистальнее зубов и отсутствие гипербалансирующих и балансирующих контактов. Данные исследования фиксировали путем фотографирования.

Каждый зуб является частью общей окклюзионной пло- скости, формируя свою собственную окклюзионную пло- скость. Таким образом, каждый зуб – это элемент единой системы координат, но может рассматриваться и в качестве собственной системы координат. В нашей работе мы опреде- ляли относительный угол сагиттального суставного пути к окклюзионной поверхности (плоскости) в сагиттальной пло- скости как наклон первых 5 мм траектории протрузионного суставного пути к окклюзионной плоскости. У пациентов это значение измеряли по телерентгенограмме (ТРГ) головы в боковой проекции (цефалометрия) (рис. 2 на вклейке, 3). Находили дистальный ориентир положения первого

ISSN: 2582-4686 SJIF 2021-3.261,SJIF 2022-2.889, 2024-6.875 ResearchBib IF: 9.948 / 2024

THE MULTIDISCIPLINARY JOURNAL OF SCIENCE AND TECHNOLOGY

VOLUME-5, ISSUE-12

моляра по R. Ricketts [11], который затем корректировали на диагно- стической модели по соотношению размеров сохранившихся зубов. Для динамического анализа из полученного значения вычитали величину предполагаемого среднего угла наклона

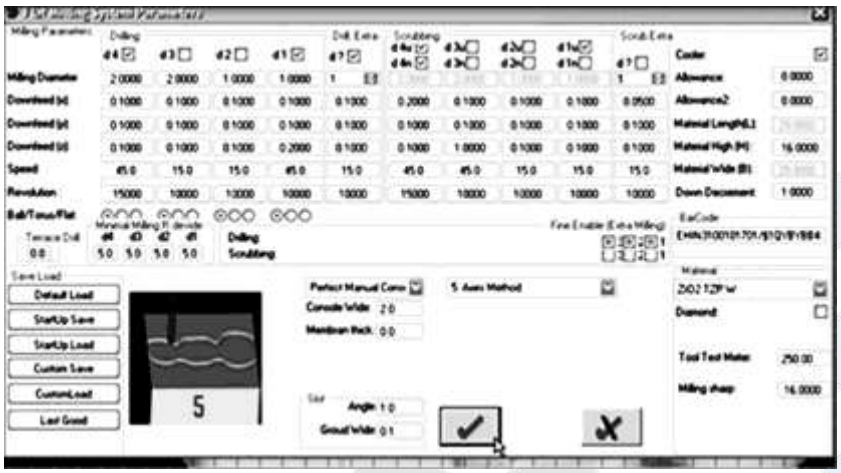


Рис. 2. Подбор и согласование диаметра, направления, скорости движения и вращения фрезы в программном обеспечении. лены из блоков диоксида циркония, стабилизи- рованного иттрием. Рецептура диоксидцирко- ниевых блоков разработана в Научном центре порошкового материаловедения (руководитель – акад. РАН В.Н. Анциферов).

По рентгенологическим снимкам с исполь- зованием горизонтального компараторного микроскопа ИЗО-1 в сроки от 2 до 10 дней после фиксации оценивали зазор между внутренней поверхностью протеза и протезным ложем. Всего проведено 15 замеров у 15 конструкций, изготовленных на премоляры и моляры.

Исследовали показатели гемодинамики па- родонтальных тканей зубов методом допплерографии до протезирования и в отдаленные сроки (через 6–8 мес) после изготовления зубных протезов у 21 пациента.

Результаты и обсуждение

В ходе клинического обследования жалобы на окклюзионный дискомфорт предъявляли

скатов бугорков первого моляра (30º) к его окклюзионной плоскости и получали значение угла разобщения при дина- мических движениях, т.е. угла динамической дизокклюзии (рис. 4 на вклейке). По данным некоторых авторов [10], угол дизокклюзии должен быть не менее 8º, но не более 16º. При значениях менее 8º возникают препятствия в динамической окклюзии. При значениях свыше 16º уменьшается жеватель- ная эффективность.

Для определения уровня расположения окклюзионной плоскости [12] из усредненной точки шарнирной оси прово- дили перпендикуляр к окклюзионной плоскости, величину которого измеряли и сравнивали со значением среднестати- стической нормы.

После анализа результатов клинической и параклиниче- ской диагностики составляли предварительный план ком- плексного лечения, который согласовывался с пациентом и включал лечебно-диагностическое временное протезирова- ние, а после адаптации – постоянное протезирование.

ISSN: 2582-4686 SJIF 2021-3.261,SJIF 2022-2.889, 2024-6.875 ResearchBib IF: 9.948 / 2024

THE MULTIDISCIPLINARY JOURNAL OF SCIENCE AND TECHNOLOGY

VOLUME-5, ISSUE-12

С целью оптимизации параметров фрезерования кон- струкций в соответствующем блоке CAD/CAM-системы Hint-Els выполняли подбор и согласование диаметра, направ- ления и скорости движения фрезы, а также скорость и часто- ту ее вращения (рис. 5). Рассчитывали показатель скорости резания оксидциркониевых блоков по формуле:

$\upsilon = \pi Dn/1000$ м/мин,

где D – диаметр фрезы; n – число оборотов фрезы; π – отно- шение длины окружности к длине ее диаметра.

Постоянные конструкции зубных протезов были изготов 47,3% пациентов, на шумовые явления в околоушной обла- сти (хруст, щелчки) при открывании рта – 46,5% пациентов. В 37,3% случаев нами выявлено снижение высоты нижнего отдела лица, в 35,6% отмечалось смещение центральной ли- нии, односторонний дефект определялся в 26% случаев, дву-сторонний – в 67,5%.

При смыкании зубных рядов у пациентов в положение множественной привычной окклюзии (статическая окклю- зия) определено среднее количество пар зубов-антагонистов, равное 10.

При диагностике окклюзии зубных рядов на гипсовых моделях в артикуляторе отклонения от нормы были выявле- ны у 43,6% обследованных пациентов.

Оценка динамической окклюзии в артикуляторе выяви- ла следующие нарушения: отсутствие адекватной окклюзии при латеротрузии вправо и влево у 37,4 и 36,5% [illegible] у 12,3% обследованных. Отсутствовало адекватное разобще[illegible]х более дистально зубов, отмечено наличие балансирующи[illegible]й стороне) и гипербалансирующих контактов (на нерабочей



Рис. 3. Сканирующий блок CAD/CAM-системы Hint-Els.



Рис. 4. Фрезерующий блок CAD/CAM-системы Hint-Els.

ISSN: 2582-4686 SJIF 2021-3.261,SJIF 2022-2.889, 2024-6.875 ResearchBib IF: 9.948 / 2024

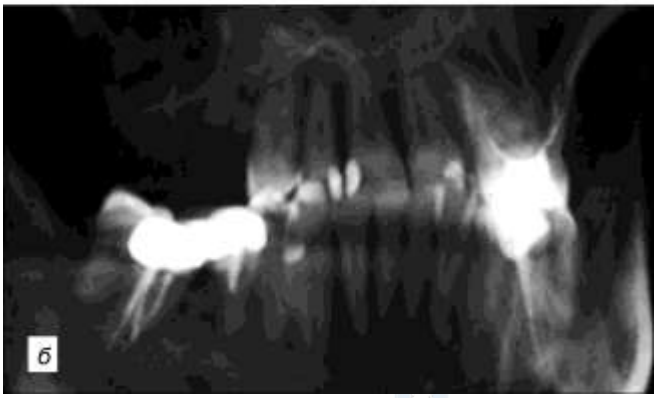
VOLUME-5, ISSUE-12



Рис. 5. Вид конструкции на основе диоксида циркония после этапа фрезерования (блок размером 90×16 мм).

По результатам измерения уровня окклюзионной плоско- сти в 31,2% случаев обнаружили





отклонение от расчетной индивидуальной нормы. Отклонение величины угла сагит- тального суставного пути относительно окклюзионной пло- скости первого постоянного моляра нижней челюсти в срав- нении со среднеанатомической нормой (38–40º) составило 46,8% (37,6% – уменьшенный, 19,2% – увеличенный угол сагиттального суставного пути). Данный показатель может свидетельствовать о том, что у пациентов с измененной ок- клюзионной поверхностью моляров и премоляров имеются нарушения динамической окклюзии, требующие коррекции. По результатам исследования было отмечено отклонение высоты нижнего отдела лица от расчетной индивидуальной нормы у 13,2% обследованных.

Рис. 6. Компьютерная томограмма пациентки Б. (до лечения) (*а*); фрагмент ОПТГ этой больной (до лечения) (*б*).Для изготовления как временных, так и постоянных зуб- ных протезов использовали технологию CAD/CAM по обще- принятому алгоритму с применением

ISSN: 2582-4686 SJIF 2021-3.261,SJIF 2022-2.889, 2024-6.875 ResearchBib IF: 9.948 / 2024

THE MULTIDISCIPLINARY JOURNAL OF SCIENCE AND TECHNOLOGY

VOLUME-5, ISSUE-12

системы Hint-Els. Нами была усовершенствована и апробирована методика изготов- ления постоянных несъемных конструкций зубных протезов и имплантационных систем из отечественного материала на основе диоксида циркония, стабилизированного иттрием, с учетом индивидуальных параметров зубочелюстной системы и движений нижней челюсти пациента. Основным принципом данной методики является объединенное использование при виртуальном моделировании в программном обеспечении си- стемы CAD/CAM Hint-Els индивидуальных суставных и ок- клюзионных параметров зубочелюстной системы данного па- циента с запланированными траекториями скольжения зубов. После 3D-сканирования рабочих моделей в сканирующем блоке CAD/CAM-системы Hint-Els (рис. 6) проводили моде- лирование окклюзионной поверхности искусственных зубов в программном модуле виртуального артикулятора. При этом учитывали имитацию индивидуальных траекторий движения нижней челюсти по запланированным траекториям скольже- ния зубов с использованием рассчитанных параметров угла дизокклюзии. Это давало возможность создать и настроить 3D-модель зубов и зубных рядов в статическую и динами- ческую окклюзию индивидуально для каждого пациента. В дальнейшем выполняли фрезерование конструкций на CAD/ CAM-системе Hint-Els (рис. 7) из блоков диоксида циркония, стабилизированных диоксидом иттрия (рис. 8).

Расчет показателей скорости резания оксидциркониевых блоков, а также подбор и согласование диаметра, направ- ления и скорости движения фрезы, скорости и частоты ее вращения при изготовлении конструкций зубных протезов и имплантационных систем позволили сократить общее время фрезерования. При этом сохранялась высокая точность изго- товленных зубных протезов, что подтверждено данными ис- следования на горизонтальном компараторном микроскопе. В среднем зазор между внутренней поверхностью конструк- ции и твердыми тканями зуба составлял примерно 40 мкм и имел равномерную величину на всем протяжении.

При обследовании после лечения жалобы пациентов, предъявляемые ими до лечения, значительно сократились – до 98%. У всех пациентов отсутствовали жалобы на окклюзи- онный дискомфорт.

ISSN: 2582-4686 SJIF 2021-3.261,SJIF 2022-2.889, 2024-6.875 ResearchBib IF: 9.948 / 2024

THE MULTIDISCIPLINARY JOURNAL OF SCIENCE AND TECHNOLOGY

VOLUME-5, ISSUE-12

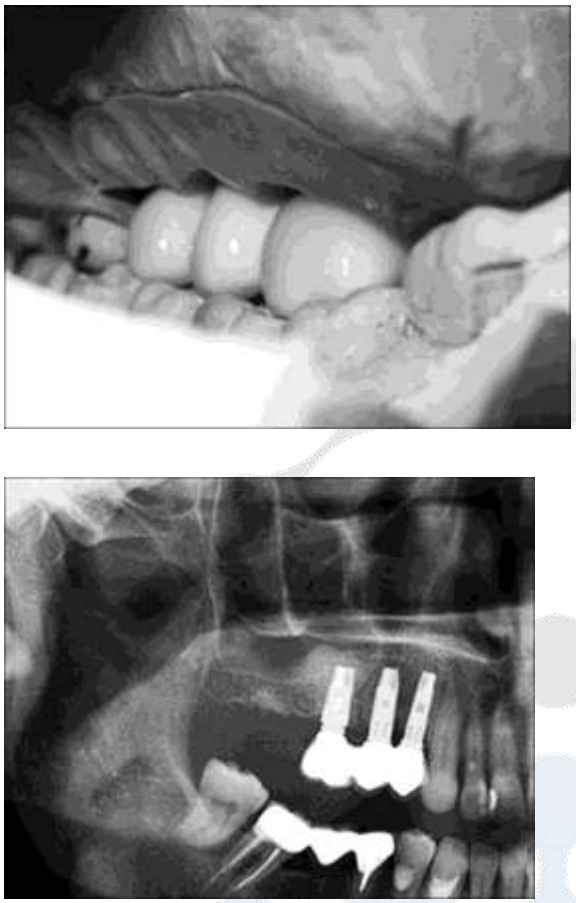


Рис. 7. Больная Б. Вид на моделях готовой ортопедической реставрации на имплантатах в области зубов 1.4, 1.5, 1.6.

Среднее количество пар зубов-антагонистов в статической окклюзии у пациентов после лечения составило 12. Была соз- дана динамическая последовательная дизокклюзия зубных рядов (от первого моляра до клыка верхней челюсти) с клы- ковым ведением в 96% случаев, нормализована статическая и динамическая окклюзия зубных рядов в 98% случаев.

В процессе реконструкции окклюзии зубов и зубных ря- дов удалось добиться нормализации угла сагиттального рез- цового пути относительно окклюзионной плоскости первого постоянного моляра нижней челюсти в сравнении со средне- анатомической нормой (38–40°).

Анализ результатов допплерографии до ортопедическо- го лечения показывал снижение показателей линейных и объемных скоростных характеристик кровотока в микро- сосудах (см. таблицу). При этом расчетные индексы – пуль- сационный индекс (PI) и индекс резистентности (RI) были повышены. Обращает на себя внимание тот факт, что PI был значительно повышен по отношению к остальным показате- лям, что может быть связано с сохранением компенсаторно- приспособительных механизмов регуляции тканевого кро- вотока за счет увеличения шунтирующей составляющей. В отдаленные сроки исследования отмечено повышение по- казателя максимальной систолической скорости кровотока (V_{max}), которое свидетельствует об увеличении перфузии тканей кровью и улучшении микроциркуляции.

ISSN: 2582-4686 SJIF 2021-3.261,SJIF 2022-2.889, 2024-6.875 ResearchBib IF: 9.948 / 2024

THE MULTIDISCIPLINARY JOURNAL OF SCIENCE AND TECHNOLOGY

VOLUME-5, ISSUE-12

В качестве примера применения данной методики приво- дим клинический случай.

Б о л ь н а я Б., 50 лет, обратилась в клинику ортопеди- ческой стоматологии в 2013 г. с жалобами на затрудненное пережевывание пищи, эстетический недостаток.

Из анамнеза: зубы 1.7, 1.6, 1.5, 1.4 удалены в связи с осложненным кариесом 2–3 года назад. Сопутствующие за- болевания: хронический гастрит. Ожидания от лечения: не- съемное протезирование.

При объективном осмотре: слизистая оболочка полости рта бледно-розового цвета, ровная, гладкая, блестящая, уме- ренно увлажнена, имеющиеся конструкции зубных протезов – металлокерамические мостовидные протезы с опорой на зубы 4.7, 4.5 в удовлетворительном состоянии. В костных структурах альвеолярных отростков деструктивных измене- ний не выявлено, пневматизация синуса верхнечелюстной пазухи не нарушена. Прикус ортогнатический.

Диагноз: частичное вторичное отсутствие зубов вслед- ствие осложненного кариеса, I класс на верхней челюсти по классификации Кеннеди, потеря жевательной эффективно- сти – 38 % по Агапову (рис. 9, *а*, *б*).

Для восстановления целостности зубного ряда после со- вместной консультации хирурга и ортопеда стоматолога при- нято решение о дентальной имплантации в области верхнего правого сегмента. Хирургический этап имплантации про- ходил без особенностей, установлены 3 имплантационные системы в верхнем правом сегменте, через 5 мес проведена установка формирователей десны. После анализа результа- тов клинической и параклинической диагностики составлен предварительный план комплексного ортопедического лече- ния, согласованный с пациенткой. Предварительно были из- готовлены временные конструкции. За период адаптации на временных конструкциях пациентка отметила значительное уменьшение дискомфортных ощущений, после чего переш- ли на постоянные зубные протезы. Временные и постоянные конструкции были изготовлены на CAD/CAM-системе Hint- Els с учетом индивидуальных параметров зубочелюстной си- стемы и движений нижней челюсти (по методике, описанной выше) с применением модуля “Виртуальный артикулятор” (рис. 10, *а–в*; 11–13 на вклейке).

Плотность прилегания изготовленной конструкции оце-
нивали по рентгеновскому снимку на компараторном микро- скопе, она составляла 27–36 мкм.

Сравнение результатов допплерографии до и после ле- чения показало увеличение показателя V_{max}. Таким образом, улучшение микроциркуляции в тканях пародонта, окружаю-
щих изготовленный зубной протез, позволяет охарактери- зовать проведенные лечебные мероприятия как достаточно эффективные (рис. 14).

Заключение

Применяя программный модуль “Виртуальный артикуля- тор”, мы получили возможность точно контролировать ана- томическую форму моделируемой реставрации с учетом ин- дивидуальных статических и динамических окклюзионных параметров данного пациента, а возможность в программе корректировать окклюзионную плоскость позволяла в пол- ной мере проводить реконструкцию виртуальной 3D-модели зубов и зубных рядов.

Нами оптимизированы параметры стратегии фрезерова- ния в программе Hint-Els путем расчета путей фрезерования и сокращения общего времени изготовления конструкций из

ISSN: 2582-4686 SJIF 2021-3.261,SJIF 2022-2.889, 2024-6.875 ResearchBib IF: 9.948 / 2024

THE MULTIDISCIPLINARY JOURNAL OF SCIENCE AND TECHNOLOGY

VOLUME-5, ISSUE-12

отечественного материала диоксида циркония, стабилизиро- ванного иттрием. При этом анализ плотности прилегания из- готовленных конструкций, проведенный на компараторном микроскопе, позволяет говорить о высокой точности их из- готовления.

Оценка регионарного кровотока пародонта в отдален- ные сроки после ортопедического лечения свидетельствует о нормализации микроциркуляции тканей пародонта за счет выверенных окклюзионных контактов. Прежде всего следу- ет отметить заметное повышение показателя V_{max}, свидетель-

ствующее об увеличении перфузии тканей кровью и улуч-

шении микроциркуляции, что позволяет охарактеризовать проведенные лечебные мероприятия как достаточно эффек- тивные в функциональном аспекте.

ЛИТЕРАТУРА

1. Баршев М. Современные CAD/CAM-системы для стоматологии. *Зубной техник.* 2009; 2: 68–71.

2. Ряховский А.Н., Левицкий В.В. Новые возможности планирова- ния эстетического результата ортопедического лечения. *Клини- ческая стоматология.* 2008; 4: 32–6.

3. Alan David. Cerec inLab: the CAD/CAM-system with a difference. *Acta Med. Dent. Helv.* 2003; 5: 131–9.

4. Ряховский А.Н., Карапетян А.А., Трифонов Б.В. Сравнение че- тырех CAD/CAM-систем для изготовления зубных протезов. *Панорама ортопедической стоматологии.* 2006; 3: 9–19.

5. Ряховский А.Н., Карапетян А.А., Аваков Г.С. Точность сканиро- вания полостей с помощью CAD/CAM-систем. В кн.: *Материа- лы XXI и XXII Всероссийских научно-практических конференций.* М.; 2009: 268–70.

6. Аваков Г.С. *Сравнительное исследование различных CAD/CAM- систем для изготовления каркасов несъемных зубных протезов*. Дисс. … канд. мед. наук. М.; 2012.

7. Аваков Г.С. Возможности сканирования абатментов импланта- тов различными CAD/CAM-системами. В кн.: *Материалы Пер- вой научно-практической конференции молодых ученых «Инно- вационная наука – эффективная практика».* М.; 2010: 129–31.

8. Ряховский А.Н., Карапетян А.А., Аваков Г.С. Возможности раз- личных CAD/CAM-систем по точности сканирования и изготов- ления каркасов несъемных зубных протезов. *Клиническая сто- матология*. 2010; 3: 12–7.

9. Ряховский А.Н., Карапетян А.А., Аваков Г.С. Сравнительноеисследование различных CAD/CAM-систем для изготовления каркасов несъемных зубных протезов. *Стоматология.* 2011; 2: 57–61.

10. Славичек Р. *Жевательный орган. Функции и дисфункции.* М.: Аз- бука стоматолога; 2008.

11. Jacobson A., Jacobson R.L. Radiographic Cephalometry: from Ba- sics to Videoimaging. *Quintessence.* Chicago; 1995.

12. Orthlieb J.D., Laurent M. Influence of saggital inclination of the teeth and the orientation of the occlusal plane on mesial drift in the dental arch. *Orthod.* 2000; 71: 287–94.